

# ORIGINAL ARTICLE

## ***Process Performance with DC Current in Treatment of Poultry Slaughterhouse Wastewater Using Aluminum Electrodes***

Zabihollah Yousefi<sup>1</sup>,  
Hossein Sahebian<sup>2</sup>,  
Abdoliman Amouei<sup>3</sup>,  
Reza Ali Mohammadpour<sup>4</sup>,  
Ebrahim Zarei<sup>5</sup>

<sup>1</sup> Professor, Department of Environmental Health Engineering, Faculty of Health, Mazandaran University of Medical Sciences, Sari, Iran

<sup>2</sup> MSc Student in Environmental Health Engineering, Student Research Committee, Mazandaran University of Medical Sciences, Sari, Iran

<sup>3</sup> Professor, Department of Environmental Health Engineering, Faculty of Health, Babol University of Medical Sciences, Babol, Iran

<sup>4</sup> Associate Professor, Department of Biostatistics, Faculty of Health, Mazandaran University of Medical Sciences, Sari, Iran

<sup>5</sup> Assistant Professor, Department of Basic Sciences, Farhangian University, Tehran, Iran

(Received February 26, 2018 ; Accepted February 24, 2018)

### **Abstract**

**Background and purpose:** Poultry slaughterhouses produce high rates of polluted effluent. They can contaminate the environment if not treated properly. This study aimed at investigating the performance of electrocoagulation process with direct (DC) current in treatment of poultry slaughterhouse effluent using aluminum electrodes.

**Materials and methods:** This study was performed as an experimental study on a pilot scale on poultry slaughterhouse effluent. In this experiment, direct flow and four aluminum electrodes, which were spaced two centimeters apart, were used as monopole. We investigated the percentage of organic load waste removal (COD, BOD<sub>5</sub>) and different pH changes, at 6, 12, and 18 V, and pH 3, 5, 7, and 9, and different reaction times (10, 30, 60, 90 min).

**Results:** The removal efficiency of COD and BOD<sub>5</sub> using DC current was optimally at 18 V and pH=7 that occurred in 45 min (84.86%, 88.93%, respectively). Final pH was found to be 8.47.

**Conclusion:** According to current findings, electrocoagulation process can be used as a combined process with high efficiency in removal of slaughterhouse effluent contaminants, so, using this technique can produce wastewater according to the standards.

**Keywords:** electrocoagulation, aluminum electrodes, effluent treatment, poultry slaughterhouses

**J Mazandaran Univ Med Sci 2019; 29 (172): 53-66 (Persian).**

\* Corresponding Author: Abdoliman Amouei Faculty of Health, Babol University of Medical Sciences, Babol, Iran  
(E-mail: iamouei1966@gmail.com)

## کارایی فرآیند لخته سازی الکتریکی با جریان مستقیم در تصفیه پساب کشتارگاه مرغ با استفاده از الکترودهای آلومینیومی

ذیح الله یوسفی<sup>۱</sup>

حسین صاحبیان<sup>۲</sup>

عبدالایمان عموبی<sup>۳</sup>

رضاعلی محمدپور<sup>۴</sup>

ابراهیم زارعی<sup>۵</sup>

### چکیده

**سابقه و هدف:** کشتارگاه مرغ از مراکز تولید فاضلاب با بار آلدگی بالا می باشد و در صورت عدم تصفیه مناسب می تواند آلدگی های فراوانی را در محیط ایجاد کند. مطالعه حاضر با هدف کارایی فرآیند لخته سازی الکتریکی با جریان مستقیم در تصفیه پساب کشتارگاه مرغ با استفاده از الکترودهای آلومینیومی انجام پذیرفت.

**مواد و روش ها:** این بررسی یک مطالعه تجربی در مقیاس آزمایشگاهی بوده که به صورت پایلوت بر روی پساب کشتارگاه مرغ انجام پذیرفت. در این آزمایش از جریان مستقیم و چهار الکترود آلومینیومی که با فاصله دو سانتی متر از هم به حالت تک قطبی قرار داشتند، استفاده شد سپس درصد حذف بار آلی پساب (COD و BOD<sub>5</sub>) و تغییرات pH در اختلاف پتانسیل ۶، ۱۲ و ۱۸ ولت، ۳، ۵، ۷ و ۹ و مدت زمان واکنش ۱۰، ۳۰، ۶۰ و ۹۰ دقیقه مورد بررسی قرار گرفت.

**یافته ها:** نتایج نشان داد که راندمان حذف در حالت بهینه در اختلاف پتانسیل ۱۲ ولت، pH برابر ۷ و زمان ۴۵ دقیقه، برای COD و BOD<sub>5</sub> به ترتیب برابر با ۸۴/۸۶ و ۸۸/۹۳ درصد حاصل شد. هم چنین pH نهایی ۸/۴۷ به دست آمد.

**استنتاج:** در مجموع می توان گفت که فرآیند لخته سازی الکتریکی می تواند به عنوان یک فرآیند ترکیبی با کارایی بالا در حذف بار آلی پساب کشتارگاه به کار رود. استفاده از این تکنیک می تواند پسابی منطبق بر استانداردهای تحیله تولید نماید.

**واژه های کلیدی:** لخته سازی الکتریکی، الکترود آلومینیوم، تصفیه پساب، کشتارگاه مرغ

### مقدمه

سبب کاهش سطح بهداشت عمومی جامعه و افزایش آلدگی های محیط زیستی شده است کشتارگاه ها می باشند(۲،۱). آلدگی فاضلاب های ناشی از کشتارگاه ها، یکی از مشکلات عده ای این صنعت در سراسر دنیا می باشد. یکی از بخش های این صنعت که دارای فاضلاب قبل

یکی از صنایعی که علی رغم نظارت کارشناسان سازمان حفاظت محیط زیست بر کیفیت رعایت ضوابط محیط زیستی هم چنان موضوع آلدگی آن ها و ضرورت استقرار واحد های صنعتی از سوی سازمانهای نظارتی و رسانه ها مطرح بوده و کم توجهی به توسعه این واحد ها،

E-mail: iamouei1966@gmail.com

مؤلف مسئول: عبدالایمان عموبی؛ بابل؛ میدان گنج افروز، دانشگاه علوم پزشکی بابل، دانشکده بهداشت

۱. استاد، گروه مهندسی بهداشت محیط، دانشکده بهداشت، دانشگاه علوم پزشکی مازندران، ساری، ایران

۲. کارشناسی ارشد مهندسی بهداشت محیط، کمیته تحقیقات دانشجویی، دانشکده بهداشت، دانشگاه علوم پزشکی مازندران، ساری، ایران

۳. استاد، گروه مهندسی بهداشت محیط، دانشکده بهداشت، دانشگاه علوم پزشکی بابل، بابل، ایران

۴. دانشیار، گروه آمار زیستی، دانشکده بهداشت، دانشگاه علوم پزشکی مازندران، ساری، ایران

۵. استادیار، گروه علوم پایه، دانشگاه فرهنگیان، تهران، ایران

تاریخ دریافت: ۱۳۹۶/۱/۲۷ تاریخ ارجاع جهت اصلاحات: ۱۳۹۷/۵/۲۷ تاریخ تصویب: ۱۳۹۷/۱۲/۱۵

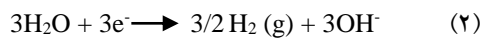
تصفیه فاضلاب کشتارگاه طیور، تکنولوژی‌های فیزیکوشیمیایی از قبیل شناورسازی با هوای محلول، ترسیب، انعقاد و لخته‌سازی، اکسیداسیون پیشرفت‌های UV/H<sub>2</sub>O<sub>2</sub>, UV/O<sub>3</sub>) را می‌توان نام برد. این تکنولوژی‌ها نیز با این که کارآمد بوده ولی معایی همچون نیاز به مواد شیمیایی، هزینه بهره برداری و نگهداری بالا و افزایش لجن تولیدی و مشکلات دفع آن را دارند(۵). با توجه به مواردی مانند هزینه کلی شامل اجرا و بهره برداری، قابلیت اجرا از نوع تکنولوژی به کاررفته و شرایط محیطی، مشخصات بهره برداری، تجهیزات مورد نیاز، سطح تکنولوژی محل، تاثیر تغییرات ظرفیت فاضلاب و توسعه آینده سیستم و درجه تصفیه، بایستی روش‌هایی راه اندازی شود که با توجه به غلظت بالای فاضلاب کشتارگاه راندمان بسیار بالایی داشته باشد و عملیات بهره برداری و نگهداری آن ساده باشد(۶،۱۰). یکی از این تکنولوژی‌ها فرآیند لخته‌سازی الکتریکی می‌باشد. تکنولوژی الکتروشیمیایی اساساً یک فرآیند الکتروولیتیکی است که شامل ناپایدارسازی آلاینده‌های معلق، امولسیون یا حل شده در محیط‌های آبی از طریق کاربرد جریان الکتریکی می‌باشد(۱۳،۱۲). سه فرآیند اصلی در این تکنولوژی اتفاق می‌افتد: ۱- واکنش الکتروولیت در سطح آند. ۲- تشکیل منعقد کننده در فاز آبی. ۳- جذب آلاینده‌های کلوئیدی یا محلول بر روی منعقد کننده و حذف از طرق رسوب دهی یا شناورسازی.

آلومینیوم یا آهن معمولاً به عنوان الکترود استفاده می‌شوند و کاتیون‌های آن‌ها توسط اتحال آند قربانی پس از به کارگیری جریان مستقیم تولید می‌شوند. یون‌های فلزی تولید شده در سلول الکتروشیمیایی برای تولید یون‌های هیدروکسید فلزی براساس واکنش‌های شماره ۱ تا ۳ هیدرولیز می‌شوند و حلالیت هیدروکسیدهای فلزی تشکیل شده بستگی به pH و قدرت یونی دارد. وقتی که از فلز آلومینیوم به عنوان الکترود استفاده می‌شود، واکنش‌ها به شرح ذیل است: (۱۴-۱۶).



توجهی از لحاظ کیفیت و کمیت می‌باشد کشتارگاه طیور است(۳). دفع غیر بهداشتی فاضلاب‌های کشتارگاهی، آلودگی محیط زیست و محصولات کشاورزی را در پی داشته اما آن چه به عنوان ملاک ارزیابی عملکرد این واحدها مورد توجه قرار گرفته، تنها میزان محصولات آن‌ها بوده و به ندرت به میزان بار آلودگی ناشی از فعالیت این صنعت و مخاطرات زیست محیطی آن‌ها توجه شده است. کشتارگاه طیور مقادیر انبوهی گوشت تولیدی به منظور مصرف مستقیم عرضه می‌کنند(۴،۵). فاضلاب کشتارگاه‌های طیور از فرایندهای مختلف مانند پیش‌پردازش، کشتار، خونزیزی، بخارشویی، انجاماد، ذخیره‌سازی و بسته‌بندی محصولات گوشتی مرغ تولید می‌شود. از مشخصه‌های فاضلاب این صنعت مقدار زیادی ترکیبات آلی قابل تجزیه زیستی مانند COD (Chemical Oxygen Demand) و BOD (Biological Oxygen Demand) (روغن و گریس، نیتروژن و فسفر به علت حضور جامدات معلق و ترکیبات کلورئیدی مانند خون، پروتئین، چربی و سلولز) می‌باشد. ترکیب فاضلاب صنعت کشتار طیور از یک صنعت به صنعت دیگر متفاوت است. بنابراین، با توجه به پروتکلهای زیست محیطی، این فاضلاب بایستی قبل از تخلیه به محیط زیست تصفیه شده و به سطح استاندارد برسد(۶). روش‌های متعددی برای تصفیه فاضلاب کشتارگاه مرغ وجود دارد که اکثر آن‌ها بر روی فرآیندهای بیولوژیکی مانند لجن فعال، حوضچه‌های ثبیت‌کننده، راکتورهای هوایی و بیهوایی و بیوفیلترهای بیهوایی متمرکز شده است. با این حال اگرچه این سیستم‌ها مؤثر و اقتصادی هستند اما اغلب نیاز به زمان ماند هیدرولیکی طولانی، منطقه بزرگ، تقاضای زیاد انرژی (برای هوادهی) داشته و مقدار زیادی لجن تولید می‌کنند(۴،۷،۸). هم چنین فرایندهای بیهوایی ممکن است به دلیل انباست اسیدهای آلی در مراحل میانی، به ویژه تحت شرایط بارگذاری آلی بالا منجر به نارسایی فرایند تصفیه شود(۹). از دیگر فرایندهای

و در کاتد:



در این فرآیند به علت آزاد شدن گازهای هیدروژن از کاتد و اکسیژن از آند عمل شناورسازی نیز انجام می‌گیرد. علاوه بر این میزان جذب هیدروکسیدهای تولیدی توسط این فرآیند ۱۰۰ برابر بیشتر از هیدروکسیدهایی است که به وسیلهٔ فرآیندهای شیمیایی تولید می‌شود (۱۸، ۱۷). در مطالعه‌ای تصفیه فاضلاب کشتارگاه با الکترودهای آهن و آلومینیوم برای حذف COD در پراکسی-الکتروکواگولاسیون با استفاده از  $\text{H}_2\text{O}_2$  در شرایط بهینه انجام شد و نشان داد که الکتروود آلومینیوم برای حذف COD عملکرد بهتری نسبت به الکترو آهنی داشته است (۱۹).

در مطالعه‌ای از فرآیند الکتروکواگولاسیون به عنوان تصفیه ثالثیه فاضلاب صنعت کاغذسازی برای حذف مواد آنی محلول و COD استفاده شد که به ترتیب به میزان ۴۶ درصد و ۶۸ درصد کاهش حاصل شد (۲۰). در مطالعه‌ای شیرابه تولیدی از محل دفن زباله توسط فرایند لخته‌سازی الکتریکی مورد تصفیه قرار گرفت و سولفات و COD آن به ترتیب به میزان ۹۵ درصد و ۵۹ درصد کاهش یافت (۲۱).

در مطالعه دیگری روش لخته سازی الکتریکی در حذف همزمان فسفات، نیترات و COD پساب رختشوی خانه با استفاده از الکترودهای آهنی در شش PH مختلف انجام گردید و مشخص شد که PH، پارامتر موثر در کارایی حذف فاکتورهای مذکور می‌باشد. بهترین کارایی حذف آلانیده در  $\text{PH}=7$  به دست آمد (۲۲). مطالعه‌ای با هدف استفاده از فرآیند لخته‌سازی الکتریکی با کمک الکتروود آهن و آلومینیوم برای حذف فلوراید از محیط آبی انجام شد. چندین پارامتر، مانند غلظت فلوراید، PH و اختلاف پتانسیل اعمال شده و زمان واکنش برای دست یابی به ظرفیت حذف بیشتر مورد مطالعه قرار گرفت. نتایج نشان داد که بیشترین ظرفیت

حذف در اختلاف پتانسیل ۴۰ ولت و زمان ۶۰ دقیقه به دست آمد (۲۳).

در مطالعه‌ای با هدف بررسی اثربخشی فرآیند الکتروکواگولاسیون با الکترودهای مس برای ضد عفونی کردن فاضلاب کشتارگاه مرغ نشان داده شد که حداقل راندمان حذف کلیفرم کل برابر ۱۰۰ درصد در اختلاف پتانسیل ۳۰ ولت و زمان واکنش ۱۰ دقیقه به دست آمد (۲۴).

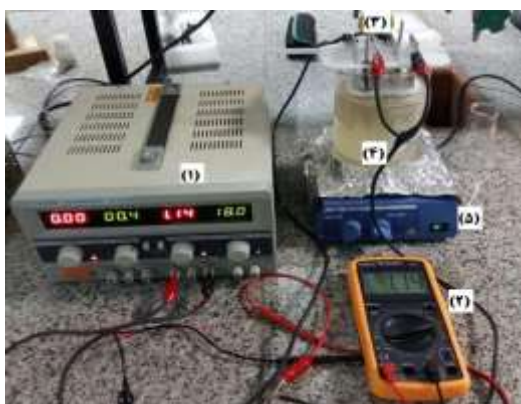
مطالعه تصفیه الکتروشیمیایی با استفاده از الکترودهای میله‌ای آهنی برای حذف COD از فاضلاب کشتارگاه مرغ نشان داد که الکتروکواگولاسیون به ویژه پراکسی-الکتروکواگولاسیون با استفاده از  $\text{H}_2\text{O}_2$  در نهایت می‌تواند COD را از ۸۸۰ میلی گرم بر لیتر به ۴۲۵ میلی گرم بر لیتر کاهش دهد و به عنوان جایگزین مناسب

در تصفیه فاضلاب کشتارگاه مرغ استفاده شود (۲۵). در مطالعه دیگری تصفیه فاضلاب کشتارگاه مرغ با الکتروود آهن و آلومینیوم نشان داد که بیشترین مقدار حذف COD برابر ۹۵٪ درصد با الکتروود آلومینیوم به دست آمد و در شرایط مشابه با الکتروود آهن به میزان ۹۵٪ درصد روغن و چربی حذف شد (۲۶).

در مطالعه‌ای با هدف بررسی امکان تصفیه فاضلاب کشتارگاه گاو، طی فرآیند الکتروکواگولاسیون با الکتروود آلومینیوم جهت کاهش غلظت COD برابر ۳۵۰۰ میلی گرم بر لیتر و کدورت NTU ۲۹۰ پایین تر از حد مجاز تخلیه انجام گرفت و نتایج نشان داد که تحت شرایط مطلوب راندمان حذف برای COD و کدورت به ترتیب ۹۳ درصد و ۹۶ درصد به دست آمد (۲۷).

تکنولوژی لخته‌سازی الکتریکی در مقایسه با سایر روش‌های تصفیه مزایایی از جمله تجهیزات ساده، بهره‌برداری ساده، عدم اضافه کردن مواد شیمیایی، حجم کم لجن تولیدی، زمان ماند کم، تهشیینی سریع لخته‌های تولیدی، آبگیری ساده لجن تولیدی و هزینه سرمایه‌گذاری و بهره‌برداری کم دارد (۲۸، ۲۹). در صنایعی مانند کشتارگاه‌ها به دلیل این که تعداد و نوع

دستگاه مبدل برق آزمایشگاهی (Power Supply) مدل RAYANNIK RN-3003D ساخت کشور ایران که قابل تنظیم در اختلاف پتانسیل و شدت جریان مختلف (در محدوده صفر تا ۶۰ ولت و صفر تا ۳ آمپر) که می‌تواند جریان AC را به DC تبدیل نماید، استفاده شد. تصویر شماره ۱ شما واقعی از پایلوت مورد استفاده را نشان می‌دهد:



تصویر شماره ۱: شما واقعی از پایلوت مورد استفاده

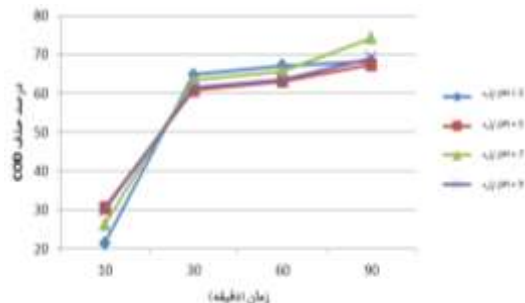
۱- منبع تغذیه، ۲- مولتی متر، ۳- الکتروودها (آنند و کاتن)، ۴- مگنت، ۵- کنترل کننده همزن مغناطیس نمونه‌های پساب کشتارگاه از اواخر تابستان تا اواخر زمستان ۱۳۹۶، به روش مرکب از پساب خروجی کشتارگاه قبل از عملیات کلرزنی با روش‌های مبتنی بر استاندارد برداشته شده و در مدت زمان کمتر از ۶ ساعت به آزمایشگاه منتقل شد و پس از تنظیم pH (۹,۷۵,۳) در هر آزمایش به میزان ۷۰۰ سی سی پساب به درون سلول الکتروشیمیایی تزریق می‌شد سپس جریان الکتریکی با اختلاف پتانسیل‌های ۱۸، ۱۲ و ۶ ولت برقرار شده و در فواصل زمانی ۹۰ min و ۶۰، ۳۰، ۱۰ و با سرعت چرخش همزن ۱۵۰ دور در دقیقه، به میزان ۱۵۰ ml از میانه راکتور نمونه برداشته می‌شد. لازم به ذکر است که قبل از نمونه‌گیری در هر بار آزمایش به مدت ۱۵ دقیقه جهت تهشیین فلوكها زمان صرف شد. نمونه‌ها در دمای ۴۰°C نگهداری و در پایان مطابق با روش‌های مندرج در کتاب روش‌های استاندارد برای آزمایش آب

کشتار متغیر می‌باشد و امکان به وجود آمدن شوک به تصفیه خانه بر اثر ورود فاضلاب وجود دارد این روش با مزیت‌هایی که دارد می‌تواند به عنوان یک روش تصفیه تکمیلی مورد استفاده قرار گیرد. به همین دلیل هدف از این مطالعه ارزیابی کارایی فرآیند لخته‌سازی الکتریکی با جریان مستقیم به عنوان تصفیه تکمیلی پساب کشتارگاه مرغ جهت حذف مواد آلی (COD و BOD<sub>5</sub>)، با استفاده از الکتروودها آلمینیومی بوده است.

## مواد و روش‌ها

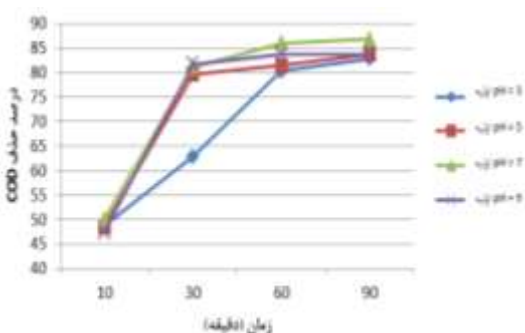
کشتارگاه صنعتی مرغ واقع در شهرستان بابل، روستای بیشه سر (شرکت بابل طیور) در اواخر سال ۱۳۸۸ در زمینی به مساحت ۳۰ هزار متر مربع به بهره‌برداری و تولید رسیده است. این کشتارگاه ظرفیت کشتار و بسته‌بندی ۴۰۰۰ قطعه مرغ گوشی در ساعت همراه با واحد مستقل قطعه‌بندی مرغ و بسته‌بندی دارا می‌باشد که در حال حاضر به طور متوسط روزانه ۱۵۰۰۰ مرغ کشتار شده و ۱۰۰ مترمکعب آب مصرف می‌شود. این کشتارگاه دارای تصفیه خانه فاضلاب با سیستم لجن فعال از نوع هواهی گسترده می‌باشد. پساب خروجی از این فرآیند نیز در زمین‌های کشاورزی دفع می‌شود. نمونه‌های پساب مورد استفاده در راکتور الکتروکواگولاسیون بعد از فرایند لجن فعال (بعد از حوضچه تهشیینی) به کار رفته در این کشتارگاه برداشته شد. در این مطالعه سلول الکتروکواگولاسیون از یک راکتور با مخزن شیشه‌ای نشکن به حجم یک لیتر و مقاوم در برابر خوردگی ساخته شد. الکتروودها در این راکتور از جنس آلمینیوم به ابعاد ۱۲ cm × ۵ cm × ۰/۲ cm و به فاصله ۲ cm از هم به حالت تک قطبی (اتصال تمام الکتروودها به قطب‌های مثبت و منفی) قرار گرفتند. حدود ۵ سانتی‌متر از طول الکتروود داخل پساب قرار می‌گرفت. ضمناً روی صفحه الکتروود، بخشی که داخل پساب بود، ۶ منفذ دایره‌ای به قطر ۰/۸ سانتی‌متر برای چرخش بهتر پساب ایجاد شد. سطح موثره راکتور ۵۰ cm<sup>2</sup> بود. در این آزمایشات از

مختلف مورد بررسی قرار گرفت و نتایج در تصاویر شماره ۱ تا ۹ نشان داده شده است. تصویر شماره ۱ راندمان حذف COD در اختلاف پتانسیل ۶ ولت را نشان می‌دهد که با گذشت زمان راندمان حذف COD افزایش می‌یابد که بیشترین راندمان حذف مربوط به pH = ۷ در زمان ۹۰ دقیقه و کمترین راندمان حذف مربوط به pH = ۳ در زمان ۱۰ دقیقه بوده که به ترتیب برابر با ۷۴/۲۹ درصد و ۲۱/۴۳ درصد می‌باشد.



تصویر شماره ۱: درصد حذف COD در اختلاف پتانسیل ۶ ولت در pH و زمان های مختلف

تصویر شماره ۲ راندمان حذف COD در اختلاف پتانسیل ۱۲ ولت را نشان می‌دهد. همان‌طور که در تصویر شماره ۲ مشاهده می‌شود با گذشت زمان راندمان حذف COD افزایش می‌یابد که بیشترین راندمان حذف مربوط به pH = ۷ در زمان ۹۰ دقیقه و کمترین راندمان حذف مربوط به pH = ۹ در زمان ۱۰ دقیقه بوده که به ترتیب برابر با ۸۶/۸۶ درصد و ۴۷/۴۳ درصد می‌باشد.



تصویر شماره ۲: درصد حذف COD در اختلاف پتانسیل ۱۲ ولت در pH و زمان های مختلف

و فاضلاب (۳۰) از نظر pH نهایی، COD<sub>5</sub> و BOD<sub>5</sub>، با دوبار تکرار (جهت اخذ دقت لازم) تعیین مقدار می‌شوند. راندمان (R٪) حذف بارآلی نیز با استفاده از معادله شماره ۴ محاسبه می‌شود:

$$R\% = [(C_0 - C_1)/C_0] \times 100 \quad (4)$$

که در آن C<sub>0</sub> و C<sub>1</sub> به ترتیب غلظت آلینده قبل و بعد از فرآیند تصفیه می‌باشد (۳۱). COD با استفاده از رآکتور COD و خوانش مستقیم با دستگاه اسپکتروفوتومتر HACH DR5000 ساخت کشور آلمان و رآکور گرمایی BOD<sub>5</sub> HACH DRB200 COD مدل HACH N120 مدل CORNING از روش یدومتریک (وینک لر) و pH با استفاده از pH متر CORNING مدل N120 ساخت کشور آمریکا اندازه گیری شد. هم چنین برای انجام محاسبات آماری و تجزیه و تحلیل داده‌ها از نرم افزار Excel و SPSS استفاده شد و آزمون تحلیل واریانس جهت بررسی تفاوت متغیرهای تحقیق با زمان، اختلاف پتانسیل و pH های مختلف انجام پذیرفت.

## یافته ها

خصوصیات فاضلاب خام و پساب بعد از حوضچه ته‌نشینی و قبل از فرایند کلرزنی در جدول شماره ۱ نشان داده شده است. همان‌طور که در جدول شماره ۱ مشاهده می‌شود کارایی فرایند لجن فعال در حذف COD فاضلاب کشتارگاه برابر ۸۶ درصد و BOD<sub>5</sub> برابر ۸۷ درصد بوده است.

جدول شماره ۱: خصوصیات فاضلاب خام و پساب کشتارگاه بابل طیور

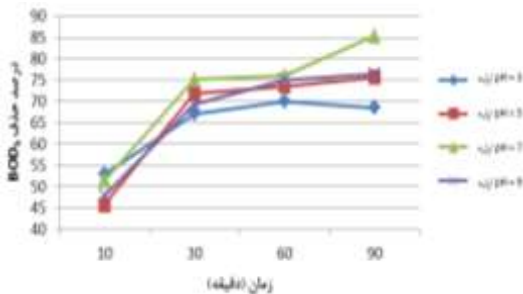
پارامتر	فاضلاب خام						تماد نمونه
	پساب میانگین	حداکثر میانگین	حداقل میانگین	حداکثر میانگین	حداقل میانگین	حداکثر میانگین	
pH	۷/۴	۷/۳±۰/۱۱	۷	۶/۹	۶/۸۵±۰/۰۲	۶/۸	۴۸
COD(mg/l)	۴۳۹	۳۰/۶۲	۲۱۴	۳۰/۸	۲۵/۰۴۴	۱۶۴	۴۸
BOD <sub>5</sub> (mg/l)	۱۹۱	۱۵/۰±۱۹	۱۱۹	۱۳۸۴	۱۲۰±۱۲۰	۱۰/۱۶	۴۸
کورت	۸۱	۶/۵±۹	۵۳	۴۷۸	۳۹۵±۴۲	۳۵۲	۴۸
EC	۲۱۳۵	۲۰/۲۵±۶۰	۱۹/۱۵	۲۴۹۵	۲۲۵±۱۰/۵	۲۰/۷۲	۴۸
TSS(mg/l)	۱۹۶	۱۶/۴±۲۲	۱۲۴	۱۶/۵۸	۱۴/۱±۱/۸۵	۱۰/۷۴	۴۸

راندمان حذف COD، BOD<sub>5</sub> و میزان تغییرات pH با کاربرد جریان مستقیم در pH ، ولتاژها و زمان های

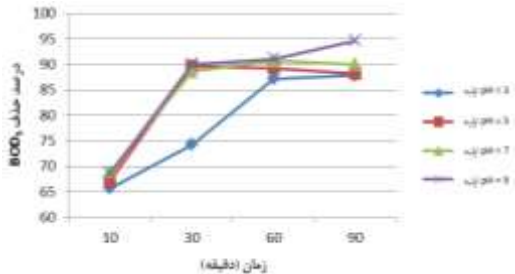
تصویر شماره ۷، تغییرات pH را در اختلاف پتانسیل ۶ ولت نشان می‌دهد. همان‌طور که از تصویر مشاهده می‌شود با افزایش زمان فرآیند تصفیه، pH اولیه پساب افزایش می‌یابد.

تصویر شماره ۸ یانگر تغییرات pH در اختلاف پتانسیل ۱۲ ولت می‌باشد. همان‌طور که مشاهده می‌شود با افزایش زمان فرآیند تصفیه، pH اولیه پساب افزایش می‌یابد.

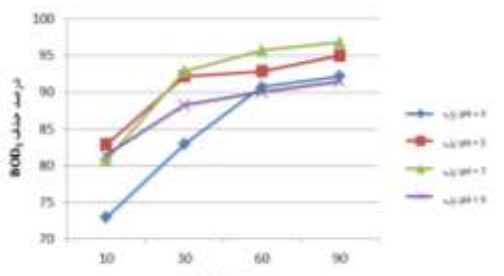
تصویر شماره ۹ یانگر تغییرات pH در اختلاف پتانسیل ۱۸ ولت می‌باشد. همان‌طور که مشاهده می‌شود با افزایش زمان فرآیند تصفیه، pH اولیه پساب افزایش می‌یابد.



تصویر شماره ۴: درصد حذف BOD<sub>5</sub> در اختلاف پتانسیل ۶ ولت در pH و زمان‌های مختلف

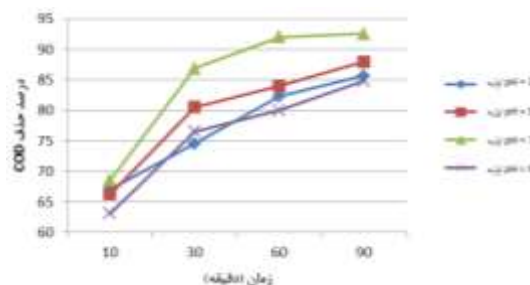


تصویر شماره ۵: درصد حذف BOD<sub>5</sub> در اختلاف پتانسیل ۱۲ ولت در pH و زمان‌های مختلف



تصویر شماره ۶: درصد حذف BOD<sub>5</sub> در اختلاف پتانسیل ۱۸ ولت در pH و زمان‌های مختلف

تصویر شماره ۳ راندمان حذف COD در اختلاف پتانسیل ۱۸ ولت را نشان می‌دهد. با گذشت زمان راندمان حذف COD افزایش می‌یابد که بیشترین راندمان حذف مربوط به pH = ۷ در زمان ۹۰ دقیقه و کمترین راندمان حذف مربوط به pH = ۹ در زمان ۱۰ دقیقه بوده که به ترتیب برابر با ۹۲/۵۷ و ۶۳/۱۴ درصد می‌باشد.



تصویر شماره ۳: درصد حذف COD در اختلاف پتانسیل ۱۸ ولت در pH و زمان‌های مختلف

تصویر شماره ۴ راندمان حذف BOD<sub>5</sub> در اختلاف پتانسیل ۶ ولت را نشان می‌دهد که با گذشت زمان راندمان حذف BOD<sub>5</sub> افزایش می‌یابد که بیشترین راندمان حذف مربوط به pH = ۷ در زمان ۹۰ دقیقه و کمترین راندمان حذف مربوط به pH = ۵ در زمان ۱۰ دقیقه بوده که به ترتیب برابر با ۸۵/۴۳ و ۴۵/۷۱ درصد می‌باشد.

تصویر شماره ۵ راندمان حذف BOD<sub>5</sub> در اختلاف پتانسیل ۱۲ ولت را نشان می‌دهد. با گذشت زمان راندمان حذف BOD<sub>5</sub> افزایش می‌یابد که بیشترین راندمان حذف مربوط به pH = ۹ در زمان ۹۰ دقیقه و کمترین راندمان حذف مربوط به pH = ۳ در زمان ۱۰ دقیقه بوده که به ترتیب برابر با ۹۴/۶۴ و ۶۵/۷۱ درصد می‌باشد.

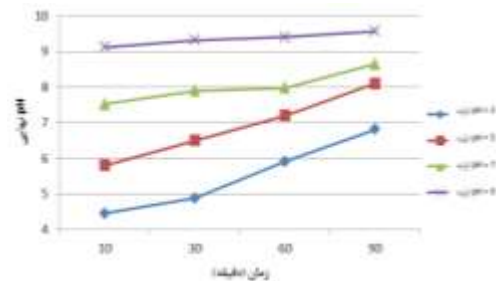
تصویر شماره ۶ راندمان حذف BOD<sub>5</sub> در اختلاف پتانسیل ۱۸ ولت را نشان می‌دهد. با گذشت زمان راندمان حذف BOD<sub>5</sub> افزایش می‌یابد که بیشترین راندمان حذف مربوط به pH = ۷ در زمان ۹۰ دقیقه و کمترین راندمان حذف مربوط به pH = ۳ در زمان ۱۰ دقیقه بوده که به ترتیب برابر با ۹۶/۷۹ و ۷۲/۸۶ درصد می‌باشد.

در این مطالعه میانگین تغییرات شدت جریان بر حسب آمپر نیز بررسی شد که نتایج حاصل شده در جدول شماره ۲ نشان داده شده است. همان طور که مشاهده می شود شدت جریان با افزایش زمان واکنش، افزایش می یابد.

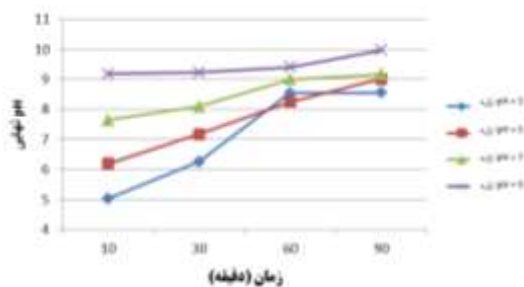
با مشاهده نتایج فوق، آزمایش در شرایط بهینه در اختلاف پتانسیل ۱۲ ولت، pH برابر ۷ با زمان ۴۵ دقیقه انجام پذیرفت که در نتیجه میزان حذف COD و BOD<sub>5</sub> به ترتیب برابر با ۸۴/۸۶ درصد و ۸۸/۹۳ درصد حاصل شد. هم چنین pH خروجی برابر با ۸/۴۷ گردید.

### تجزیه و تحلیل آماری

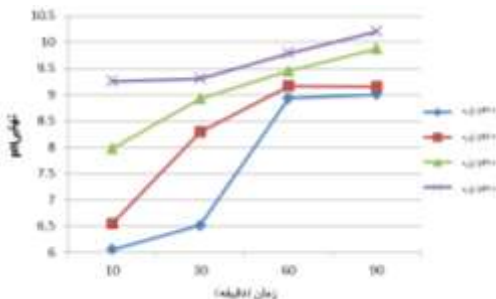
در این مطالعه آزمون تحلیل واریانس جهت بررسی تفاوت متغیرهای تحقیق با زمان، اختلاف پتانسیل و pH های مختلف انجام پذیرفت که نتایج آن در جدول شماره ۳ نشان داده شده است. جدول شماره ۳ نشان می دهد که متغیرهای COD و BOD<sub>5</sub> با pH های متفاوت رابطه معناداری مشاهده نشده است. هم چنین نشان می دهد متغیر pH نهایی با pH اولیه، زمان و اختلاف پتانسیل های متفاوت رابطه معنادار دار و متغیر COD و BOD<sub>5</sub> با زمان و ولتاژ های متفاوت رابطه معنادار وجود دارد (شرط <0/۰۵ P برقرار است).



تصویر شماره ۷: تغییرات pH اولیه پساب در اختلاف پتانسیل ۶ ولت در زمان های مختلف



تصویر شماره ۸: تغییرات pH اولیه پساب در اختلاف پتانسیل ۱۲ ولت در زمان های مختلف



تصویر شماره ۹: تغییرات pH اولیه پساب در اختلاف پتانسیل ۱۸ ولت در زمان های مختلف

جدول شماره ۲: میانگین تغییرات شدت جریان بر حسب آمپر در ولتاژ، pH و زمان های مختلف

			زمان (دقیقه)	اختلاف پتانسیل (V)	شدت جریان (A)			زمان (دقیقه)	اختلاف پتانسیل (V)	شدت جریان (A)			زمان (دقیقه)	اختلاف پتانسیل (V)	شدت جریان (A)			
۶	۱۰	۳	۰/۲۸۱	۱۲	۱۰	۳	۰/۸۳۶	۱۸	۱۰	۳	۱/۴۸۰							
۶	۱۰	۵	۰/۲۸۰	۱۲	۱۰	۵	۰/۸۴۰	۱۸	۱۰	۵	۱/۳۱۰							
۶	۱۰	۷	۰/۲۵۰	۱۲	۱۰	۷	۱/۲۲۰	۱۸	۱۰	۷	۱/۲۲۰							
۶	۱۰	۹	۰/۲۷۰	۱۲	۱۰	۹	۰/۸۸	۱۸	۱۰	۹	۱/۶۰							
۶	۳۰	۳	۰/۲۸۱	۱۲	۳۰	۳	۰/۸۳۰	۱۸	۳۰	۳	۱/۵۰							
۶	۳۰	۵	۰/۲۸۳	۱۲	۳۰	۵	۰/۹۳۰	۱۸	۳۰	۵	۱/۴۲۰							
۶	۳۰	۷	۰/۲۴۰	۱۲	۳۰	۷	۰/۷۵۰	۱۸	۳۰	۷	۱/۱۸۰							
۶	۳۰	۹	۰/۲۶۰	۱۲	۳۰	۹	۰/۸۶۴	۱۸	۳۰	۹	۱/۱۰۰							
۶	۶۰	۳	۰/۲۷۷	۱۲	۶۰	۳	۰/۸۴۰	۱۸	۶۰	۳	۱/۴۳۶							
۶	۶۰	۵	۰/۲۶۰	۱۲	۶۰	۵	۰/۸۶۰	۱۸	۶۰	۵	۱/۳۵۰							
۶	۶۰	۷	۰/۲۲۷	۱۲	۶۰	۷	۰/۷۲۰	۱۸	۶۰	۷	۱/۲۰۰							
۶	۶۰	۹	۰/۲۵۰	۱۲	۶۰	۹	۰/۸۵۰	۱۸	۶۰	۹	۱/۳۶۰							
۶	۹۰	۳	۰/۲۷۵	۱۲	۹۰	۳	۰/۸۴۰	۱۸	۹۰	۳	۱/۴۲۰							
۶	۹۰	۵	۰/۲۶۲	۱۲	۹۰	۵	۰/۸۵۰	۱۸	۹۰	۵	۱/۳۶۰							
۶	۹۰	۷	۰/۲۲۷	۱۲	۹۰	۷	۰/۷۴۰	۱۸	۹۰	۷	۱/۱۴۰							
۶	۹۰	۹	۰/۲۵۰	۱۲	۹۰	۹	۰/۸۵۰	۱۸	۹۰	۹	۱/۱۸۰							

جدول شماره ۳: آزمون تحلیل واریانس بررسی تفاوت متغیرهای مطالعه با pH های متفاوت

پارامتر	متغیر	حداقل	الحراف معیار میانگین	حداکثر	حد پایین	فاصله اطمینان ۹۵ درصد	حد بالا	سطح معنی داری	F
۰/۰۴۳	pH	۶/۷۴۵	۵/۷۰۱	۶/۰۰	۶/۷۴۲ ± ۱/۶۳۷	۴/۴۵	۳		
		۸/۳۷۸	۶/۸۵۱	۹/۱۶	۷/۶۱۵ ± ۱/۲۰۱	۵/۸۰	۵		
		۸/۸۱۴	۷/۹۰۸	۹/۸۷	۸/۴۶۹ ± ۰/۷۲۱	۷/۵۲	۷		
		۱۰/۴۴۷	۶/۹۴۱	۱۰/۲۰	۸/۶۹۴ ± ۲/۷۵۸	۸/۰۰	۹		
		۸/۰۷۷	۶/۰۱۰	۹/۲۵	۷/۰۴۴ ± ۱/۶۲۶	۴/۴۵	۱۰		
۰/۰۴۳	زمان pH	۸/۵۴۴	۶/۷۴۹	۹/۳۲	۷/۶۳۶ ± ۱/۳۹۶	۴/۸۸	۳۰		
		۹/۴۱۸	۶/۰۴۶	۹/۷۸	۷/۷۲۲ ± ۲/۶۵۳	۵/۰۰	۶۰	زمان	
		۹/۵۹۳	۸/۴۱۶	۱۰/۲۰	۹/۰۰ ± ۰/۹۲۶	۶/۸۱	۹۰		
		۸/۱۲۵	۵/۵۸۷	۹/۵۷	۶/۸۵۶ ± ۲/۳۸۱	۴/۰۰	۶		
		۸/۸۶۱	۷/۴۱۲	۹/۹۷	۸/۱۳۶ ± ۱/۳۵۹	۵/۰۳	۱۲	وقتاز	
۰/۰۴۴	pH	۹/۲۴۰	۷/۸۹۹	۱۰/۲۰	۸/۰۷۰ ± ۱/۲۵۹	۶/۰۵	۱۸		
		۷۸/۵۲۱	۵۵/۸۶۱	۸۵/۷۱	۶۷/۱۹۱ ± ۱۷/۸۳۲	۲۱/۴۳	۳		
		۸۰/۳۷۱	۵۸/۷۷۴	۸۸/۰۰	۶۷/۵۲۳ ± ۱۷/۷۰۷	۲۰/۰۷	۵		
		۸۵/۲۸۴	۶۰/۳۳۶	۹۲/۵۷	۷۷/۸۱۱ ± ۱۹/۶۳۲	۲۶/۲۹	۷		
		۷۹/۴۸۲	۵۸/۰۳۹	۸۴/۸۶	۶۸/۷۶۰ ± ۱۶/۸۷۵	۲۰/۰۰	۹		
۰/۰۸۹	pH	۷۹/۰۵۹	۵۸/۱۱۴	۶۸/۰۵	۴۷/۳۷۵ ± ۱۶/۹۴۵	۲۱/۴۳	۱۰		
		۶۶/۸۴۲	۷۸/۹۱۹	۸۶/۸۶	۷۷/۸۸۰ ± ۹/۵۰۳	۶۰/۰۶	۳۰		
		۷۱/۱۷۳	۸۳/۶۸۳	۹۲/۰۰	۷۷/۴۲۸ ± ۹/۸۴۵	۶۳/۱۴	۶۰	زمان	
		۷۵/۱۹۳	۸۶/۰۴۴	۹۲/۵۷	۸۰/۹۱۹ ± ۸/۵۳۹	۶۷/۴۳	۹۰		
		۶۹/۹۰۷	۹۵/۵۱۲	۷۹/۷۹	۵۶/۹۱ ± ۱۷/۷۰۲	۲۱/۴۳	۶		
۰/۰۰۰	COD	۹۶/۸۲۲	۸۱/۲۸۴	۸۶/۸۶	۷۳/۰۳۳ ± ۱۵/۴۶	۴۷/۴۳	۱۲		
		۷۲/۶۱۵	۸۴/۵۲۷	۹۲/۵۷	۷۹/۰۷۱ ± ۹/۳۰۰	۶۳/۱۴	۱۸		
		۸۳/۷۰۴	۶۸/۳۱۸	۹۲/۱۴	۷۶/۰۱۱ ± ۱۲/۱۰۷	۵۲/۸۶	۳		
		۸۹/۴۴۳	۷۱/۱۲۰	۹۵/۰۰	۸۰/۳۲۹ ± ۱۶/۳۴۴	۴۵/۷۱	۵		
		۹۱/۰۴۸	۷۴/۳۳۱	۹۶/۷۹	۸۷/۶۹۰ ± ۱۳/۱۵۵	۵۱/۴۳	۷		
۰/۰۶۹	pH	۸۹/۰۰۵	۷۱/۰۵۰	۹۴/۶۴	۸۰/۳۲۷ ± ۱۳/۶۵۷	۴۷/۸۶	۹		
		۵۷/۱۰۰	۷۳/۹۱۱	۸۷/۸۶	۶۵/۰۵۰ ± ۱۳/۲۲۹	۴۵/۷۱	۱۰		
		۷۵/۷۱۴	۸۷/۹۴۰	۹۲/۸۶	۸۱/۰۷۷ ± ۹/۹۶۱	۵۷/۱۴	۳۰		
		۷۹/۵۴۴	۹۰/۰۹۸	۹۵/۷۱	۸۵/۱۷۱ ± ۸/۸۵۶	۷۰/۰۰	۶۰	زمان	
		۸۱/۲۴۴	۹۲/۴۵۷	۹۶/۷۹	۸۶/۸۵۰ ± ۸/۸۲۴	۶۸/۰۷	۹۰		
۰/۰۰۰	BODs	۶۱/۳۸۴	۷۳/۰۵۶	۸۵/۴۳	۶۷/۶۲۰ ± ۱۱/۷۰۲	۴۵/۷۱	۶		
		۷۰/۰۳۴	۷۷/۷۸۰	۸۸/۹۲۱	۹۴/۶۴	۸۳/۲۳۵ ± ۱۰/۲۳۸	۶۵/۷۱	۱۲	
		۸۵/۱۲۱	۹۲/۲۰۰	۹۶/۷۹	۸۸/۶۶۰ ± ۶/۶۴۲	۷۲/۸۶	۱۸		

\* : p&lt;0.05

در این محدوده از pH عوامل منعقد کننده موثر مانند Al(OH)<sub>3</sub> و Al(OH)<sub>2+</sub> بیشتر می باشد که منجر به کارایی بالای فرآیند شده است. بنابراین می توان گفت که فرایند لخته سازی الکتریکی با الکترودهای آلومینیوم در محدوده وسیعی از pH موثر است (۳۲). نتایج این مطالعه نشان داد که در pH برابر با ۷ یا به عبارتی pH های خشی مقدار راندمان حذف بیشتر از pH های اسیدی و قلیایی می باشد.

هنگامی که از الکترودهای آلومینیومی استفاده می شود، یون های Al<sup>3+</sup>(aq) تولید شده بلا فاصله واکنش های خود به خودی بیشتری را تحت تأثیر قرار خواهند داد تا هیدروکسیدها و پلی هیدروکسیدهای متفاوتی را تولید کنند (۳۳). در فرآیندهای جداسازی

## بحث

pH تأثیر یکی از پارامترهای مهم تأثیرگذار بر کارایی فرآیند لخته سازی الکتریکی، pH می باشد زیرا گونه های منعقد کننده در محلول را تعیین می کند. هنگامی که pH مطالعه بین ۴ تا ۹ باشد، یون های Al<sup>3+</sup>, OH<sup>-</sup> و Al(OH)<sub>2+</sub> و متعدد مونومریک مانند Al(OH)<sup>2+</sup> و Al(OH)<sub>2+</sub> و Al<sub>7</sub>(OH)<sub>17</sub><sup>4+</sup> گونه های پلی میریک مانند Al<sub>6</sub>(OH)<sub>15</sub><sup>3+</sup> و Al<sub>13</sub>O<sub>4</sub>(OH)<sub>34</sub><sup>7+</sup> را تولید می کند که سرانجام به Al(OH)<sub>3</sub> نامحلول از طریق کتیک های ترسیب / پلیمراسیون تغییر شکل می دهند. لخته های Al(OH)<sub>3</sub> سطح بزرگ تری دارند که برای جذب ترکیبات آلی محلول و به دام انداختن ذرات کلوئیدی مناسب هستند.

۹۲/۵۷ درصد بود. در این مطالعه با ثابت بودن اختلاف پتانسیل، شدت جریان با افزایش زمان واکنش، افزایش می‌یابد که این امر دستیابی به راندمان بالا را امکان‌پذیر می‌سازد (جدول شماره ۲).

پایین ترین راندمان حذف نیز در اختلاف پتانسیل ۶ ولت به دست آمد. این امر بیانگر این واقعیت است که در شرایط اختلاف پتانسیل بالا، مقدار آلومینیوم اکسید شده افزایش یافته که این باعث تولید مقادیر بیشتر رسوبات و لخته‌های هیدروکسید که میزان جذب بالایی داردند شده و به دنبال آن راندمان حذف افزایش یافته است. از طرفی اختلاف پتانسیل بالا باعث افزایش رهاسازی آلومینیوم به فاضلاب شده که از نظر اقتصادی مقرن به صرفه نمی‌باشد<sup>(۱۶)</sup>. با افزایش ولتاژ، دانسیته حباب‌ها افزایش یافته و اندازه آن‌ها کاهش می‌یابد و این امر باعث حذف سریع تر و بیش تر آلاینده‌ها می‌شود. سطح موثر و زمان ماند حباب‌های بزرگ کمتر از حباب‌های کوچک است لذا راندمان شناورسازی با افزایش دانسیته و کاهش اندازه حباب‌ها افزایش می‌یابد. با کاهش میزان اختلاف پتانسیل، زمان مورد نیاز برای رسیدن به راندمان‌های مشابه افزایش می‌یابد<sup>(۳۷)</sup>. بدراfsان و همکاران در سال ۱۳۹۱ به بررسی اثرات اختلاف پتانسیل اعمال شده در یک فاضلاب لبنی در فرآیند الکتروکواگولاسیون پرداختند. نتایج نشان داد که راندمان حذف COD، BOD<sub>5</sub> با افزایش اختلاف پتانسیل اعمال شده و زمان واکنش افزایش می‌یابد<sup>(۳۸)</sup>. در مطالعه‌ای که توسط بدراfsان و همکاران در سال ۲۰۱۲ در مورد استفاده از فرآیند لخته سازی الکتریکی با استفاده از الکترود آهن و آلومینیوم برای حذف فلوراید از محیط آبی انجام شد، چندین پارامتر، مانند غلظت فلوراید، pH و اختلاف پتانسیل اعمال شده و زمان واکنش برای دستیابی به ظرفیت حذف بیش تر مورد مطالعه قرار گرفت. نتایج نشان داد که با افزایش پتانسیل الکتریکی میزان تصفیه افزایش یافت<sup>(۲۳)</sup>. در مطالعه دیگری که با عنوان پیش تصفیه فاضلاب رختشوی خانه بیمارستان با استفاده از فرایند

شیمیایی یا الکتروشیمیایی، pH یک پارامتر مهم می‌باشد و بر تشکیل گونه‌های هیدروکسید فلزی و مکانیسم حذف یون‌ها و آلاینده‌ها تأثیر معنی‌داری دارد<sup>(۳۴)</sup>.

در این مطالعه pH پساب خروجی پس از الکتروکواگولاسیون افزایش یافت که این افزایش، در pH اسیدی و اختلاف پتانسیل بالا زیاد و در pH قلیایی pH کم بود و در مورد الکترودهایی از جنس آلومینیوم، pH نهایی همیشه نسبت به pH اولیه بالاتر می‌باشد (تصویر شماره ۹). آن‌چه از این مطالعه و مطالعات قبلی بر می‌آید فرایند الکتروکواگولاسیون می‌تواند به عنوان یک تعديل کننده pH نیز عمل نماید<sup>(۳۵)</sup>.

در مطالعه‌ای که تحت عنوان لخته‌سازی الکتریکی در حذف هم‌مان فسفات، نیترات و COD پساب رختشوی خانه انجام شد، بهترین کارایی حذف آلاینده‌ها در pH=۷ به دست آمد<sup>(۲۲)</sup>.

در مطالعه دیگر تحت عنوان تصفیه فاضلاب کشتارگاه با استفاده از الکترود آهن نتایج نشان داد که کارایی حذف COD با افزایش pH، افزایش یافته و بالاترین راندمان در pH برابر ۷ حاصل شده بود که این با نتایج مطالعه حاضر همخوانی دارد<sup>(۲۵)</sup>.

### تأثیر اختلاف پتانسیل

اثر اختلاف پتانسیل در فرآیند الکتروکواگولاسیون به خوبی مشخص شده است به طوری که نه تنها تعیین کننده میزان غلظت کواگولانت تزریقی به محلول است، بلکه بر روی میزان تولید حباب‌ها و اندازه و رشد فلوک‌های تولیدی نیز موثر است که می‌تواند راندمان تصفیه فرآیند الکتروکواگولاسیون را تحت تاثیر قرار دهد<sup>(۳۶)</sup>. اثر اختلاف پتانسیل بر روی حذف BOD<sub>5</sub> و COD پساب کشتارگاه مرغ مورد بررسی قرار گرفت و مشاهده شد که با افزایش میزان اختلاف پتانسیل راندمان حذف نیز افزایش می‌یابد. در اختلاف پتانسیل ۱۸ ولت و زمان تماس ۹۰ دقیقه، درصدهای کاهش BOD<sub>5</sub> و COD به ترتیب برابر با ۹۶/۷۹ و

گالوانیزه) نزدیک است(۴۲). به دلیل این که پساب این کشتارگاه بعد از مراحل تصفیه به آب‌های سطحی می‌ریزد می‌باشد منطبق با استانداردهای محیط زیست جهت تخلیه به آب‌های سطحی COD تا ۶۰ میلی‌گرم بر لیتر و pH بین ۶/۵ تا ۸/۵ باشد(۴۳). به علاوه این مطالعه، از نظر کارآمدی روش الکتروکوآگولاسیون برای ارتقای عملکرد و کارآئی تصفیه خانه‌های فاضلاب‌هایی که دارای رنگ هستند با تحقیق یوسفی و همکاران مطابقت دارد(۴۴). با توجه به یافته‌های این مطالعه می‌توان این گونه جمع‌بندی نمود که جریان مستقیم با شرایط زمان ۹۰ دقیقه، pH برابر با ۷ و اختلاف پتانسیل ۱۸ ولت دارای بالاترین میزان بازدهی حذف COD، COD<sub>5</sub> به ترتیب به میزان ۹۶/۷۹ درصد و pH انتهای آزمایش ۹۲/۵۷ بوده است. بهینه ترین حالت با شرایط pH برابر با ۹/۸۷، اختلاف پتانسیل ۱۲ ولت و زمان ۴۵ دقیقه حاصل شد که همه پارامترهای COD، COD<sub>5</sub> و pH خروجی پساب بعد از مرحله تصفیه با فرآیند الکتروکوآگولاسیون مطابق با استانداردهای محیط زیست، به ترتیب برابر با ۸۶/۸۴ درصد، ۸۸/۹۳ درصد و ۸/۴۷ حاصل شده است، بنابراین طبق نتایج، تصفیه تکمیلی پساب کشتارگاه مرغ با استفاده از فرآیند الکتروکوآگولاسیون امکان پذیر و مطلوب است.

## سپاسگزاری

نتایج این مقاله حاصل طرح تحقیقاتی در قالب پایان نامه با کد ثبت شده ۳۰۲۵ و کد اخلاق IR.MAZUMS.REC.1397.3025 معاونت تحقیقات و فناوری دانشگاه علوم پزشکی مازندران بوده که با حمایت مالی دو دانشگاه علوم پزشکی مازندران و بابل به انجام رسیده است. لازم می‌دانیم از دانشکده بهداشت دانشگاه علوم پزشکی بابل و همکار این تحقیق سرکار خانم هاجر طبری نیا کارشناس ارشد دانشکده بهداشت جهت همکاری صمیمانه شان تشکر و قدردانی نماییم.

الکتروکوآگولاسیون انجام پذیرفت نتایج نشان داد که با افزایش اختلاف پتانسیل کارایی حذف COD افزایش یافته و بالاترین راندمان در اختلاف پتانسیل ۴۰ ولت حاصل شده بود(۴۹).

## تأثیر زمان واکنش

مطابق قانون فارادی مدت الکتروولیز در فرایند EC بر مقدار یون فلزی رها شده به داخل سیستم تاثیر گذاشته و باعث افزایش رهاسازی آن می‌شود(۲۲). در این مطالعه با بررسی تاثیر زمان واکنش در حذف COD و BOD<sub>5</sub> توسط فرایند EC با استفاده از الکترودهای صفحه‌ای آلومینیوم نشان داده شد که با افزایش زمان واکنش میزان حذف نیز افزایش می‌یابد به طوری که بیشترین راندمان حذف نیز در زمان واکنش min ۹۰ به دست آمد. در ۱۰ دقیقه اول آزمایشات با جریان مستقیم در تمامی pH های ۳، ۵، ۷ و ۹ میزان حذف COD و BOD<sub>5</sub> با اختلاف پتانسیل ۱۲ ولت، به ترتیب بالای ۴۷ درصد و ۶۵ درصد و با اختلاف پتانسیل ۱۸ ولت، بالای ۶۳ درصد و ۷۷ درصد بوده است که این امر می‌تواند بیانگر این باشد که در اختلاف پتانسیلهای بالا بیشترین حذف در زمان‌های ابتدای فرآیند صورت می‌پذیرد. قهرمانی و همکاران در سال ۲۰۱۲ مطالعه ای بر روی فاضلاب صنایع لبنی با استفاده از فرآیند لخته سازی الکتریکی با هدف بهینه‌سازی عوامل موثر بر فرآیند حذف COD انجام دادند. مشاهده شد که راندمان حذف با جنس الکترود، زمان تماس و اختلاف پتانسیل به طور مستقیم رابطه دارد(۴۰).

در مطالعه‌ای که توسط ملکوتیان و همکاران در سال ۱۳۹۱ با عنوان بررسی کارایی فرآیند انعقاد الکتریکی در کاهش بارآلی شیرابه مرکز دفن شهر قم انجام شد، نشان داد که با افزایش زمان ماند میزان راندمان افزایش می‌یابد(۴۱). نتیجه این مطالعه به لحاظ زمان ماند با تحقیق عمومی و همکاران (زمان تماس ۸۰ دقیقه برای حذف فلزات سنگین از صنایع آبکاری و

## References

1. Jensen PD, Yap SD, Boyle-Gotla A, Janoschka J, Carney C, Pidou M, Batstone DJ. Anaerobic membrane bioreactors enable high rate treatment of slaughterhouse wastewater. *Biochem Eng J* 2015; 97: 132-141.
2. Darijani A, Harvey D. A survey on environmental pollutants in effluent of slaughterhouses. *J Agric Sci Natur Resour* 2008; 15(1): 110-118 (Persian).
3. Harsij M, Adineh H. The possibility of using poultry slaughterhouse wastewater for culture of common carp fish (*Cyprinus carpio*). *Journal Management Systems* 2017; 6(2): 11-19 (Persian).
4. Yousefi Z, Behbodi M, Mohammadpour RA. Slaughterhouse wastewater treatment by combined anaerobic baffled reactor and anaerobic filter: study of OLR and HRT optimization in ABR/AF reactors. *Environ Health Eng Manag* 2018; 5(3): 137-142.
5. Fernando Bustillo C, Lecompte A, Mehrvar M. Slaughterhouse wastewater characteristics, treatment, and management in the meat processing industry: A review on trends and Advances. *J Environ Manage* 2015; 161: 287-302.
6. Bazrafshan E, Mahvi AH, Nasseri S, Shaieghi M. Performance evaluation of electrocoagulation process for diazinon removal from aqueous environments by using iron electrodes. *Journal of Environmental Health Science & Engineering* 2007; 4(2): 127-132.
7. Liu Y, Kang X, Li X, Yuan Y. Performance of aerobic granular sludge in a sequencing batch bioreactor for slaughterhouse wastewater treatment. *Bioresource Technol* 2015; 190: 487-491.
8. Al-Mutairi NZ, Al-Sharifi FA, Al-Shammari SB. Evaluation study of a slaughterhouse wastewater treatment plant including contact-assisted activated sludge and DAF. *De Salination* 2008; 225(1-3): 167-175.
9. Eryuruk K, Tezcanun U, Bakir Ogutveren U. Electrocoagulation in a Plugflow Reactor: The Treatment of Cattle Abattoir Wastewater by Iron Rod Anodes. *Int J Environ Res* 2014; 8(2): 461-468.
10. Bustillo-Lecompte CF, Mehrvar M, Quiñones-Bolaños E. Cost-effectiveness analysis of TOC removal from slaughterhouse wastewater using combined anaerobiceaerobic and UV/H<sub>2</sub>O<sub>2</sub> Processes. *J Environ Manage* 2014; 134: 145-52.
11. De Nardia IR, Fuzia TP, Del Nery V. Performance evaluation and operating strategies of dissolved-air flotation system treating poultry slaughterhouse wastewater. *Resour Conserv Recycl* 2008; 52(3): 533-544.
12. Adhoum N, Monser L, Bellakhal N, Belgaiad JE. Treatment of electroplating wastewater containing Cu<sup>2+</sup>, Zn<sup>2+</sup> and Cr(VI) by electrocoagulation. *J Hazard Mater* 2004; 112(3): 207-213.
13. Bukhari AA. Investigation of the electro-coagulation treatment process for the removal of total suspended solids and turbidity from municipal wastewater. *Bioresour Technol* 2008; 99(5): 914-921.
14. Escobar C, Soto-Salazar C, Toral MI. Optimization of the electrocoagulation process for the removal of copper, lead and cadmium in natural waters and simulated wastewater. *J Environ Manage* 2006; 81(4): 384-391.
15. Can OT, Kobya M, Demirbas E, Bayramoglu M. Treatment of the textile wastewater by

- combined electrocoagulation. *Chemosphere.* 2006; 62(2): 181-187.
16. Tezcan UnU, Koparal AS, Ogutveren UB. Electrocoagulation of vegetable oil refinery wastewater using aluminum electrodes. *J Environ Manage* 2009; 90(1): 428-433.
  17. Koby M, Hiza H, Senturka E, Aydinera C, Demirbas E. Treatment of potato chips manufacturing wastewater by electrocoagulation. *Desalination* 2006; 190(1-3): 201-211.
  18. Mouedhen G, Fekia M, Wery MDP, Ayedi HF. Electrochemical removal of Cr(VI) from aqueous media using iron and aluminum as electrode materials: Towards a better understanding of the involved phenomena. *J Hazard Mater* 2009; 168(2-3): 983-991.
  19. Ozyonar Fuat, Karagozoglu B. Investigation of technical and economic analysis of electrocoagulation process for the treatment of great and small cattle slaughterhouse wastewater. *Taylor & Francis* 2014; 52(1-3): 74-87.
  20. Zodi S, Louvet J-N, Michon C, Potier O, Pons MN, et al. Electrocoagulation as a tertiary treatment for paper mill wastewater: Removal of non-biodegradable organic pollution and arsenic. *Sep Purif Methods* 2011; 81(1): 62-68.
  21. Lhan F, Kurt U, Apaydin O, Gonullu MT. Treatment of leachate by electrocoagulation using aluminum and iron electrodes. *J Hazard Mater* 2008; 154(1-3): 381-389.
  22. Razavi M, Saieedi M, Ebrahimi J. Comparison of the Cost and Efficiency of Aluminum and Iron Electrodes Application in the Removal of Phosphate, Nitrate and COD from Laundry Wastewater using Electrocoagulation Process. *IJHE* 2013; 6(3): 265-276.
  23. Bazrafshan E, Ownaghi K, Mahvi AH. Application of Electrocoagulation Process Using Iron and Aluminum Electrodes for Fluoride Removal from Aqueous Environment. *E-Journal of Chemistry* 2012; 9(4): 2297-2308.
  24. Zarei A, Biglari H, Mobini M, Dargahi A, Ebrahimzadeh G, Narooie MR, et al. Disinfecting Poultry Slaughterhouse Wastewater Using Copper Electrodes in the Electrocoagulation Process. *Pol J Environ Stud* 2018; 27(4): 1907-1912.
  25. Eryuruk K, Tezcan UnU, Ogutveren U B. Electrochemical treatment of wastewaters from poultry slaughtering and processing by using iron electrodes. *J Clean Prod* 2018; 172: 1089-1095.
  26. Godini K, Azarian G, Nematollahi D, Rahmani AR, Zolghadrnasab Hassan. Electrochemical treatment of Poultry Slaughterhouse Wastewater using Iron and Aluminium Electrodes. *Research Journal of Chemistry and Environment* 2012; 98-103.
  27. Khosa MK, Jamal MA, Mahmood Zia K, Saif MJ, Rehman FU, Bokhari TH, et al. Treatment of Cattle Slaughter House Wastewater by Electrocoagulation Method Using Aluminium Electrodes. *Asian Journal of Chemistry* 2014; 26(19): 6335-6338.
  28. Bani-Melhem Kh, Smith E. Grey water treatment by a continuous process of an electrocoagulation unit and a submerged membrane bioreactor system. *Chem Eng Sci* 2012; 198-199: 201-210.
  29. Bouamraa F, Drouichea N, Dihya b, Ahmeda S, Lounicia H. Treatment of Water Loaded With Orthophosphate by Electrocoagulation. *Procedia Eng* 2012; 33: 155-162.
  30. Rice EW, Baird RB, Eaton LS. *Standard Methods for the Examination of Water and Wastewater.* 22<sup>th</sup> ed. Washington DC. American Public Health Association. 2013

31. Kuokkanen V, Kuokkanen T, Ramo J, Lassi U. Electrocoagulation treatment of peat bog drainage water containing humic substances. Water Research 2015; 79: 79-87.
32. Ghanbari F, Mazaheri A, Mahdi pour F, Mir Shafieyan SD, Moradi M, Sharifi M, et al. Evaluation of electrocoagulation process effect in decolorization of dyeing wastewater by using Al/Fe & Al/Cu electrodes. Quarterly J Sabzevar Univ Med Sci 2014; 20(5): 716-725.
33. Ozyonar F, Karagozoglu B. Operating Cost Analysis and Treatment of Domestic Wastewater by Electrocoagulation Using Aluminum Electrodes. Polish J of Environ Stud 2011; 20(1): 173-179.
34. Jafari Mansoorian H, Mahvi AH, Bazrafshan E, Jonidi Jafari A. Efficiency of the Electrocoagulation Process with Alternating and Direct Current for Eliminating Lead from Battery Industry Wastewater by Using Metal Iron and Stainless Steel Electrodes. TB 2013; 13(1):144-164.
35. Mahvi AH, Mosreghani M, Karimi K, Shirejian M. Performance of Electro-Coagulation Process For the Removal of Heavy Metals (Copper, Zinc and Cobalt) From Landfill Leachate in Tehran. SJIMU 2012; (21): 71-79.
36. Bazrafshan E, Mahvi AH. Removal of Cadmium from Aqueous Environments by Electrocoagulation process using Aluminum Electrodes. ZJRMS 2007; 9(1): 9-15.
37. Bazrafshan E, Mahvi AH, Naseri S, Mesdaghinia AR. Performance evaluation of electrocoagulation process for removal of chromium (VI) from synthetic chromium solutions using iron and aluminum electrodes. Turkish J Eng Env Sci 2008; 32: 59-66.
38. Bazrafshan E, Moein H, Kord Mostafapour F, Nakhaie Sh. Application of Electrocoagulation Process for Dairy Wastewater Treatment, Hindawi Publishing Corporation. Journal of Chemistry 2012; 2013: 640139.
39. Dehghani M, Shiebani Seresht S, Hashemi H. Treatment of hospital wastewater by electrocoagulation using aluminum and iron electrodes. International Journal of Environmental Health Engineering 2014; 3(1): 32-37 (Persian).
40. Ghahremani H, Bagheri S, Hassani SM, Khoshchehreh MR. Treatment of Dairy Industry Wastewater using an Electrocoagulation Process. Advances in Environmental Biology 2012; 6(7): 1897-1901.
41. Malakootian M, Izanloo H, Messerghany M, Emamjomeh MM. Electrocoagulation Efficiency in Removal of COD from the Qom Landfill Leahate, Iran. IJHE 2012; 5(2): 201-210 (Persian).
42. Amouei A, Borqhei M, Mohseni M, Goodarzi J, Faraji H. Removal of Chromium, Nickel, Zinc and Turbidity from Industrial Wastewater by Electrocoagulation Technology (Case Study: Electroplating and Galvanized Wastewater of Industrial Zone in Boomhen). J Mazandaran Univ Med Sci 2015; 24(120): 209-219 (Persian).
43. Department of Environment Islamic Republic of Iran. Environmental Criteria of Treated Waste Water and Return Flow Reuse. Iran, Office of Deputy for Strategic Supervision; 1994.
44. Yousefi Z, Zafarzadeh A, Ghezel AA. Application of Taguchi's experimental design method for optimization of Acid Red 18 removal by electrochemical oxidation process, Environ Health Eng Manag 2018; 5(4): 241-248.